

---

---

## ОПТИЧНА І КВАНТОВА ЕЛЕКТРОНІКА В КОМП'ЮТЕРНИХ ТА ІНТЕЛЕКТУАЛЬНИХ ТЕХНОЛОГІЯХ

---

---

УДК 621.396.6

Л.Б. ЛИЩИНСКАЯ

### ОСНОВЫ ПОСТРОЕНИЯ ОПТОИММІТАНСНОЇ ЛОГІКИ

*Вінницький торгово–економіческий інститут КНТЭУ,  
ул. Соборная, 87, г. Вінниця, Україна,  
E-mail: L\_Fil1@mail.ru*

**Аннотация.** Сформулированы основы построения оптоиммитансной логики, рассмотрены возможности реализации оптоиммитансных логических элементов, позволяющие расширить функциональные возможности и улучшить технические параметры различных информационных устройств.

**Abstract.** Bases of construction of optoimmittance logic are formulated, marketability's of optoimmittance logical elements are considered, that will allow extending functional possibilities and improving the technical parameters of different informative devices.

**Анотація.** Сформульовані основи побудови оптоімітансної логіки, розглянуті можливості реалізації оптоімітансних логічних елементів, які дозволяють розширити функціональні можливості і поліпшити технічні параметри різноманітних інформаційних пристрій.

**Ключевые слова:** иммитанс, оптоиммитанская логика, оптоиммитансный логический элемент, обобщённый преобразователь иммитанса

#### ВВЕДЕНИЕ

Современная информационная техника в основном базируется на применении видеоимпульсных двоичных логических элементов с использованием, в качестве информационного параметра, дискретных значений постоянных тока или напряжения [1]. Наличие больших потоков видеинформации, требующей соответствующей обработки, привело к появлению оптоэлектронных логических элементов [2]. Они, как правило, представляют собой комбинацию видеоимпульсных логических элементов и оптических излучателей и приемников. Такие логические элементы обладают двумя существенными недостатками. Во-первых, используемые в этих элементах видеоимпульсные ключи работают в нелинейном режиме, что ограничивает их быстродействие. Во-вторых, успешное взаимодействие оптических и видеоимпульсных элементов требует относительно больших энергетических затрат, связанных с необходимостью изменения рабочей точки ключевой схемы. В результате, добротность  $Q = p\tau$  таких оптоэлектронных логических элементов остается невысокой.

#### ЦЕЛЬ РАБОТЫ

Предложенная в [3] концепция иммитансной логики дает возможность создавать высокочастотные логические элементы на активных компонентах, работающих в квазилинейном режиме, что частично позволяет преодолеть вышеперечисленные недостатки. Исходя из этого, в работе поставлена задача разработки концепции построения логических схем, образованных комбинацией оптических приемников и излучателей, и обобщенных преобразователей иммитанса (ОПИ), лежащих в основе иммитансных логических элементов, – оптоиммитансных логических элементов (ОЛЭ).

#### ОБОСНОВАНИЕ ОПТОИММІТАНСНОЇ ЛОГІКИ

Исходя из определения, в оптоиммитансных логических элементах логический уровень задается наличием (отсутствием) оптического сигнала  $\Phi$  (на входе или выходе схемы) и соответствующего характера иммитанса  $W$ , также на входе или выходе схемы.

Исходя из этого, базовые структуры оптоиммитансных логических элементов можно представить в виде рис. 1.

Оптоиммитансные ЛЭ, в зависимости от физического характера входного и выходного информационного параметра, можно разделить на 8 групп:

1. С оптическим входом и иммитансным выходом (рис. 1а).
2. С иммитансным входом и оптическим выходом (рис. 1б).
3. С оптическими входом и выходом (рис. 1в).
4. С комбинированным (оптическим и иммитансным) входом и иммитансным выходом (рис. 1г).
5. С комбинированным входом и оптическим выходом (рис. 1д).
6. С оптическим входом и комбинированным выходом (рис. 1е).
7. С иммитансным входом и комбинированным выходом (рис. 1ж).
8. С комбинированными входом и выходом (рис. 1з).

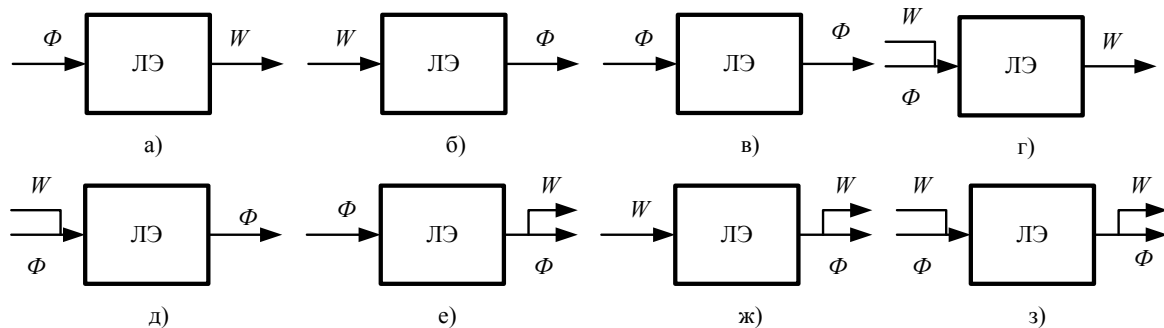


Рис. 1. Разновидности оптоиммитансных логических элементов в зависимости от характера информационного сигнала на его входе и выходе

У таких ЛЭ оптический сигнал –  $\Phi$  может влиять непосредственно на ОПИ (рис. 2а) или на преобразуемый иммитанс  $W_{\tilde{A}}$  (рис. 2б) или одновременно на ОПИ и  $W_{\tilde{A}}$  (рис. 2в).

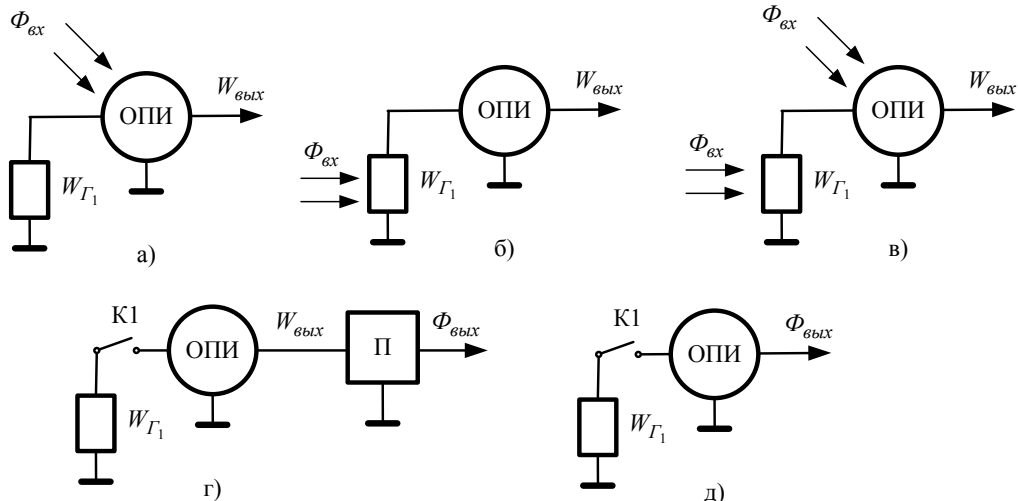
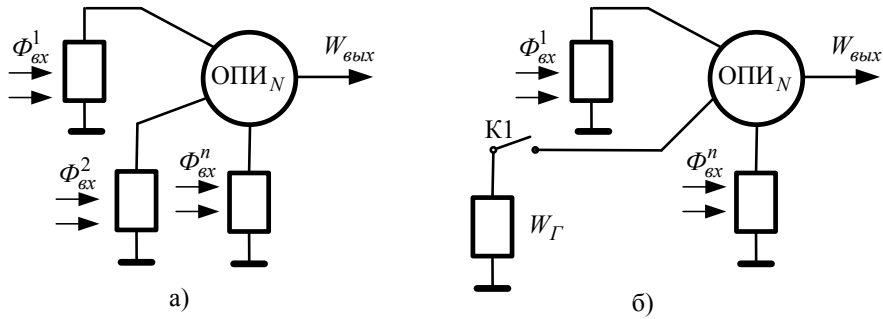


Рис. 2. Разновидности оптоиммитансных ЛЭ на основе однопараметрических ОПИ в зависимости от используемого фотоприёмника (а, б, в) и вида оптического преобразователя (г, д)

В оптоиммитансных ЛЭ с оптическим выходом иммитансный сигнал с выхода ОПИ поступает на преобразователь  $\Pi$  иммитанса в оптический сигнал (рис. 2г) или оптический сигнал поступает непосредственно с выхода ОПИ (рис. 2д), реализуемого на светотранзисторе [4].

Использование многопараметрических ОПИ<sub>N</sub> [5] позволяет уменьшить число компонентов при реализации оптоиммитансных ЛЭ. Обобщенные структурные схемы таких ЛЭ с оптическим и комбинированным входами представлены на рис. 3.


 Рис. 3. Обобщенные структурные схемы оптоиммитансных ЛЭ на многопараметрических ОПИ<sub>N</sub>

В оптоэлектронных ЛЭ логический уровень характеризуется наличием ( $\hat{O} \neq 0$ ) или отсутствием ( $\hat{O} = 0$ ) оптического сигнала (табл. 1).

Таблица 1

**Варианты представления логических уровней оптическим сигналом**

Положительная логика		Отрицательная логика	
Логический уровень	Оптический уровень	Логический уровень	Оптический уровень
0	$\hat{O} = 0$	0	$\hat{O} \neq 0$
1	$\hat{O} \neq 0$	1	$\hat{O} = 0$

Как следует из [3], при реализации иммитансных логических схем, возможно использование как положительных  $(R^{(+)}, L^{(+)}, C^{(+)})$ , так и отрицательных  $(R^{(-)}, L^{(-)}, C^{(-)})$  иммитансов и их комбинации. В результате, предлагаются восемь вариантов комбинаций таких иммитансов (табл. 2), которые могут быть использованы для отображения соответствующего логического уровня.

Таблица 2

**Варианты иммитансного представления логических «0» и «1»**

Вариант 1		Вариант 2		Вариант 3		Вариант 4	
Логический уровень	Иммитансный уровень	Логический уровень	Иммитансный уровень	Логический уровень	Иммитансный уровень	Логический уровень	Иммитансный уровень
Положительная логика							
0	$R^{(-)}$	0	$C^{(-)}$	0	$C^{(+)}$	0	$C^{(+)}$
1	$R^{(+)}$	1	$C^{(+)}$	1	$L^{(+)}$	1	$L^{(-)}$
Отрицательная логика							
0	$R^{(+)}$	0	$C^{(+)}$	0	$L^{(+)}$	0	$L^{(-)}$
1	$R^{(-)}$	1	$C^{(-)}$	1	$C^{(+)}$	1	$C^{(+)}$
Вариант 5		Вариант 6		Вариант 7		Вариант 8	
Логический уровень	Иммитансный уровень	Логический уровень	Иммитансный уровень	Логический уровень	Иммитансный уровень	Логический уровень	Иммитансный уровень
Положительная логика							
0	$L^{(-)}$	0	$C^{(-)}$	0	$C^{(-)}$	0	$C^{(-)}$
1	$L^{(+)}$	1	$C^{(+)}$	1	$L^{(-)}$	1	$L^{(+)}$
Отрицательная логика							
0	$L^{(+)}$	0	$C^{(+)}$	0	$L^{(-)}$	0	$L^{(+)}$
1	$L^{(-)}$	1	$C^{(-)}$	1	$C^{(-)}$	1	$C^{(-)}$

Таким образом, комбинируя, для задания логического уровня, оптические и иммитансные параметры возможна реализация большого количества оптоиммитансных ЛЭ. Например, каждый из рассмотренных простейших ЛЭ (рис. 1а, б) имеет 32 варианта реализации комбинации логических уровней.

## ТЕХНИЧЕСКАЯ РЕАЛИЗАЦИЯ

В [3] показано, что наиболее перспективной является реализация иммитансных ЛЭ на основе однокристальных ОПИ, использующих биполярные и полевые транзисторные структуры, способные работать на частотах в десятки и даже сотни ГГц [6]. Исходя из этого, реализацию оптоиммитансных ЛЭ также целесообразно осуществлять на основе таких ОПИ.

Например, для реализации логической функции «НЕ» в качестве входного информационного параметра используется световой поток  $\Phi$ . Логической единице «1» соответствует наличие светового потока, т.е.  $\hat{O} \neq 0$ , логическому нулю «0» – отсутствие светового потока,  $\hat{O} = 0$ . В качестве выходного информационного параметра используются значения активной составляющей полного импеданса  $Z_{\hat{a}\hat{u}\delta}$ . Тогда положительное значение активной составляющей импеданса  $\operatorname{Re} Z_{\hat{a}\hat{u}\delta} > 0$  соответствует логической единице «1», а отрицательное значение  $\operatorname{Re} Z_{\hat{a}\hat{u}\delta} < 0$  – логическому нулю «0».

Для реализации ЛЭ используется ОПИ на биполярном транзисторе (рис. 4а), включенный по схеме с общим коллектором.

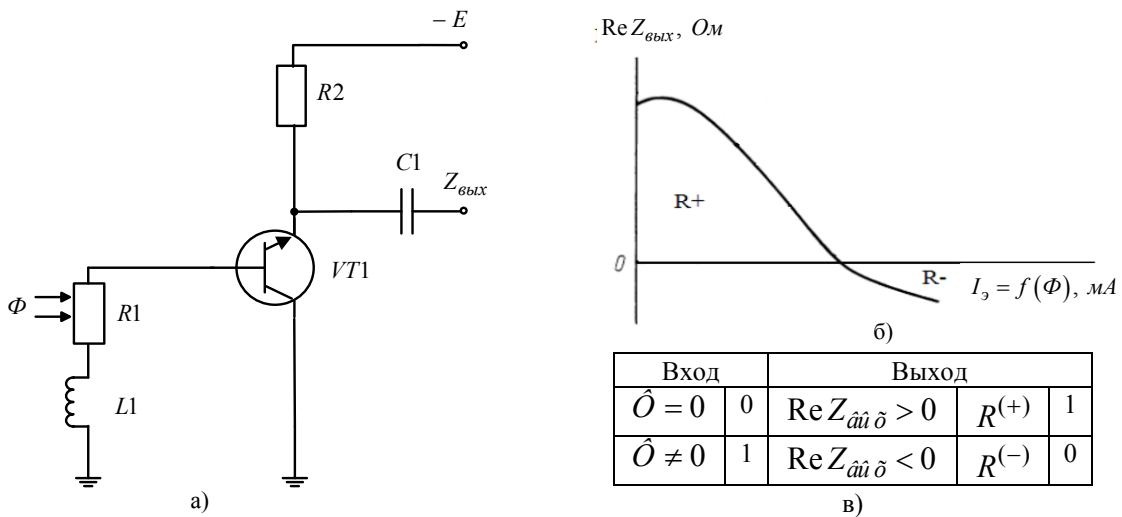


Рис. 4. Оптоиммитансный  $R$ -логический элемент «НЕ»: а) – принципиальная схема; б) – зависимость действительной составляющей преобразованного импеданса от интенсивности входного светового потока; в) – таблица истинности

Такой ОПИ является конвертором иммитанса [7]. Преобразуемым импедансом ОПИ служит последовательное соединение фотодиода  $R1$  и индуктивности  $L1$ . Преобразованный импеданс  $Z_{\hat{a}\hat{u}\delta}$  зависит от наличия или отсутствия оптического сигнала  $\Phi$ , поступающего на фотодиод  $R1$ . Характер зависимости действительной составляющей  $\operatorname{Re} Z_{\hat{a}\hat{u}\delta}$  преобразованного импеданса от тока эмиттера транзистора, который пропорционален интенсивности оптического излучения, приведен на рис. 4б. Если на фотодиоде  $R1$  на входе устройства нет оптического сигнала ( $\hat{O} = 0$ ), что соответствует логическому «0», то на выходе устройства будет положительное значение действительной составляющей преобразованного импеданса ( $\operatorname{Re} Z_{\hat{a}\hat{u}\delta} > 0$ ), которое соответствует логической «1». Если на фотодиод  $R1$  поступает оптический сигнал ( $\hat{O} \neq 0$ ), что соответствует логической «1», на выходе устройства будет отрицательное значение действительной составляющей преобразованного импеданса ( $\operatorname{Re} Z_{\hat{a}\hat{u}\delta} < 0$ ), что соответствует логическому «0». Таким образом, реализуется функция «НЕ». Таблица истинности рассмотренного оптоиммитансного  $R$ -логического элемента «НЕ» имеет вид, представленный на рис. 4в.

Аналогично выше рассмотренному варианту реализуется  $LC$ -логический элемент «НЕ», электрическая схема которого представлена на рис. 5а.

В качестве выходного информационного параметра используется значение реактивной составляющей  $\operatorname{Im} Z_{\hat{a}\hat{u}\delta}$  преобразованного импеданса. Индуктивный характер реактивной составляющей импеданса  $\operatorname{Im} Z_{\hat{a}\hat{u}\delta} > 0$  соответствует логическому «0», а емкостный характер  $\operatorname{Im} Z_{\hat{a}\hat{u}\delta} < 0$  –

логіческої «1». Преобразуемим іммитансом ОПІ являється сопротивлення фоторезистора  $R1$ . Преобразований іммитанс залежить від наявності або відсутності оптического випромінення на фоторезисторі  $R1$ . Якщо на фоторезистор  $R1$  не діє випромінення ( $\hat{O} = 0$ ), це відповідає логічному «0», ток еміттера  $I_y = 0$  і на виході пристроя буде преобразований імпеданс з емкостним характером реактивної складової  $\text{Im } Z_{\hat{a}\hat{u}\hat{o}} < 0$ , що відповідає логіческій «1».

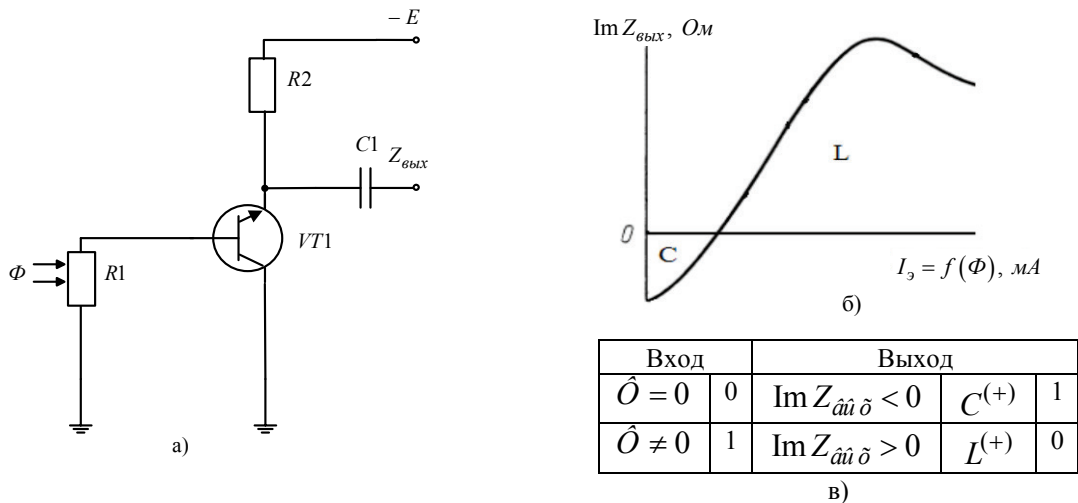


Рис. 5. Оптоіммітанський  $LC$ -логічний елемент «НЕ»: а) – принципальна схема; б) – залежність мінімальної складової преобразованого імпеданса від інтенсивності світлового потоку; в) – таблиця істинності

Якщо на фоторезистор  $R1$  на вході пристроя діє оптический сигнал ( $\hat{O} \neq 0$ ), це відповідає логіческій «1», ток еміттера  $I_y > 0$  і на виході ЛЭ буде преобразований імпеданс з індуктивним характером реактивної складової  $\text{Im } Z_{\hat{a}\hat{u}\hat{o}} > 0$ , що відповідає логічному «0». Таким чином, реалізується функція «НЕ». Таблиця істинності оптоіммітанського  $LC$ -логічного елемента «НЕ» має вигляд, представлений на рис. 5в.

При підключені нескольких логічних елементів «НЕ» (рис. 5) по переменному току к общині навантаження, реалізується  $LC$ -логічний елемент «І-НЕ» (рис. 6).

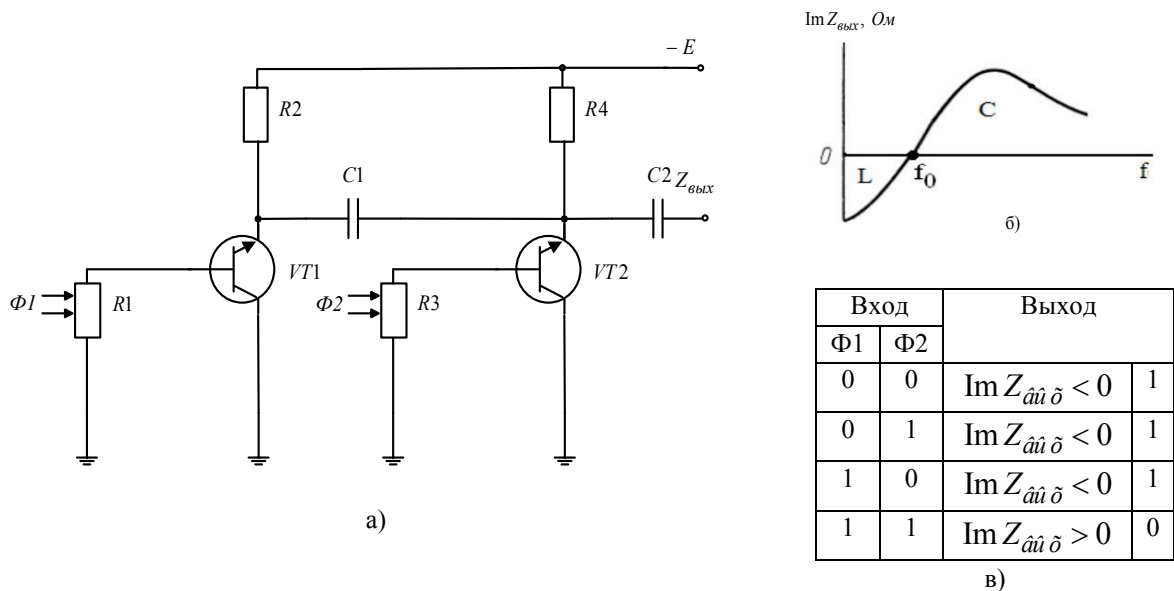


Рис. 6. Оптоіммітанський  $LC$ -логічний елемент «І-НЕ»: а) – принципальна схема; б) – частотна залежність преобразованого іммітанса при:  $\hat{O}_1 \neq 0$ ,  $\hat{O}_2 = 0$ ;  $\hat{O}_1 = 0$ ,  $\hat{O}_2 \neq 0$ ; в) – таблиця істинності

В схеме индуктивный характер реактивной составляющей выходного импеданса  $\text{Im} Z_{\hat{a}\hat{u}\hat{o}} > 0$  соответствует логическому «0», а емкостный характер  $\text{Im} Z_{\hat{a}\hat{u}\hat{o}} < 0$  – логической «1». Схема работает на частоте выше  $f_0$ , где  $f_0$  – резонансная частота параллельного контура, образуемого емкостной и индуктивной составляющими преобразованного импеданса на выходе транзисторов VT1 и VT2. Преобразуемым импедансом ОПИ, реализованного на биполярных транзисторах VT1 и VT2, является сопротивление фотодиодов  $R1$  и  $R3$ . Преобразованный импеданс оптоимитанского ЛЭ зависит от наличия или отсутствия оптического сигнала на фотодиодах  $R1$  и  $R3$ . Если на фотодиод не действует оптический сигнал ( $\hat{O} = 0$ ), что соответствует логическому «0», то между эмиттером и коллектором транзистора преобразованный импеданс будет иметь емкостной характер реактивной составляющей (рис. 5б), что соответствует логической «1». Если на фотодиод воздействует оптический сигнал ( $\hat{O} \neq 0$ ), что соответствует логической «1», растёт ток эмиттера  $I_y$  и между эмиттером и коллектором биполярного транзистора преобразованный импеданс становится индуктивным, что соответствует логическому «0». Каждый каскад отдельно реализует функцию «НЕ». Таким образом, возможна такая комбинация синхронного и раздельного облучения фотодиодов  $R1$  и  $R3$ , при котором реализуется функция «И-НЕ», которой соответствует таблица истинности (рис. 6в).

В рассмотренных оптоимитанских ЛЭ транзистор, используемый в качестве ОПИ, работает в активном режиме, что обеспечивает высокое быстродействие схемы.

В общем случае, время переключения оптоимитанского ЛЭ равно:

$$\tau_{\hat{I}\hat{E}} = \tau_{\hat{a}\hat{o}} + \tau_{\hat{I}\hat{I}\hat{E}} + \tau_{\hat{a}\hat{u}\hat{o}}, \quad (1)$$

где  $\tau_{\hat{a}\hat{o}}$  – время преобразования оптического сигнала  $\hat{O}_{\hat{a}\hat{o}}$  в преобразуемый имитанс  $W_{\hat{A}}$ ;  $\tau_{\hat{I}\hat{I}\hat{E}}$  – время преобразования преобразуемого имитанса  $W_{\hat{A}}$  в преобразованный имитанс  $W_{\hat{a}\hat{u}\hat{o}}$ ;  $\tau_{\hat{a}\hat{u}\hat{o}}$  – время преобразования имитанса  $W_{\hat{a}\hat{u}\hat{o}}$  в выходной оптический сигнал  $\hat{O}_{\hat{a}\hat{u}\hat{o}}$ .

В качестве входного преобразователя оптического сигнала в преобразуемый имитанс возможно использование различных видов фотоприёмников, время преобразования которых представлено в табл. 3.

Таблица 3.

#### Основные виды фотоприёмников и их инерционность

№ п/п	Вид фотоприёмника	$\tau_{\hat{a}\hat{o}}$ , с
1	Фоторезистор	$10^{-5} - 10^{-6}$
2	Кремниевый фотодиод	$10^{-7}$
3	p-i-n диод	$10^{-9} - 10^{-10}$
4	Диод Шоттки	$10^{-10} - 10^{-11}$
5	Биполярный фототранзистор	$10^{-7} - 10^{-8}$
6	Полевой фототранзистор с p-n переходом	$10^{-5} - 10^{-8}$
7	Тиристор	$10^{-5} - 10^{-8}$
8	Фототранзистор с переходом Шоттки	$10^{-10} - 10^{-11}$

Параметры таких фотоприёмников, применительно к оптоэлектронным ЛЭ, детально проанализированы в работе [2]. В оптоимитанских ЛЭ, кроме быстродействия преобразования, важен характер имитанса такого приёмника и его технологичность. Как следует из табл. 6., с точки зрения технологичности, для оптоимитанских ЛЭ, работающих в диапазоне СВЧ, предпочтительнее использование фотоприёмников со структурой Шоттки, которые обеспечивают  $\tau_{\hat{a}\hat{o}} \approx (10^{-10} - 10^{-11}) \tilde{n}$ .

Время преобразования преобразуемого имитанса  $W_{\hat{A}}$  в преобразованный имитанс  $W_{\hat{a}\hat{u}\hat{o}}$  зависит от вида ОПИ. Наиболее быстродействующими являются однокристальные ОПИ, реализуемые на биполярных и полевых транзисторных структурах. Минимальное время преобразования имитанса

такими структурами равно

$$\tau_{f \text{ } I \text{ } E} = 1/2\pi f_{\text{ад}} ,$$

где  $f_{\text{ад}}$  – граничная частота транзисторной структуры.

Учитывая, что в настоящее время разработаны транзисторные структуры с граничной частотой более  $100 \text{ ГГц}$ , имеем  $\tau_{f \text{ } I \text{ } E \text{ .min}} \geq 10^{-12} \text{ н}$ .

Время преобразования преобразованного иммитанса  $W_{\hat{a}\hat{u}\hat{o}}$  в выходной оптический сигнал зависит от схемы преобразования  $P$  (рис. 2). В предельном случае его минимальное значение определяется инерционностью источника светового потока. Разновидности и параметры таких источников детально рассмотрены в [2]. В оптоиммитансных ЛЭ целесообразно применение некогерентных полупроводниковых источников света – светодиодов, быстродействие которых, при реализации на основе гетероструктур, составляет  $\tau_{\hat{a}\hat{u}\hat{o}} \approx (10^{-9} - 10^{-12}) \text{ н}$ .

С учётом проведенного анализа, на основании (1) можно предположить, что потенциальное быстродействие оптоиммитансных ЛЭ будет составлять порядка  $(10^{-10} - 10^{-11}) \text{ н}$  и зависит от характера информационного сигнала на его входе и выходе.

## ВЫВОДЫ

Сформулированные основы построения оптоиммитансной логики позволяют разработать логические схемы обработки оптических сигналов с быстродействием  $(10^{-10} - 10^{-11}) \text{ н}$ . Оптоиммитансные схемы с оптическим входом являются основой устройств ввода оптической информации для информационных систем, использующих иммитансные ЛЭ, а оптоиммитансные схемы с оптическим выходом являются основой устройств визуализации результатов в таких системах.

При реализации оптоиммитансных ЛЭ целесообразно использование фотоприёмников на основе диодов Шоттки, однокристальных ОПИ на основе биполярных и полевых транзисторных структур Шоттки, а в качестве фотоизлучателей – светодиоды на основе гетероструктур.

Оптоиммитансные ЛЭ частично обладают преимуществами и недостатками оптоэлектронных и радиочастотных логических схем, и их применение позволяет расширить функциональные возможности и улучшить технические параметры различных информационных устройств, что ставит задачу дальнейшего развития схемотехнического обеспечения этого направления информационной техники.

## СПИСОК ЛИТЕРАТУРЫ

- Преснухин Л.Н. Цифрове вычислительные машины / Л.Н.Преснухин, П.В. Нестеров. – М.: Высш. Школа, 1981. – 511с.
- Оптоэлектронная схемотехника / В.П. Кожемяко, О.Г. Натрошивили, Т.Б. Мартинюк, Л.Ш. Имнаишвили. – К.: УМК ВО, 1988. – 276с.
- Ліщинська Л.Б. Імітансна логіка / Л.Б.Ліщинська, М.А. Філинюк // Інформаційні технології та комп’ютерна інженерія. – 2010. - № 2(18). – С. 25-31.
- Feng M. Light-emitting transistor: light emission from InGaP/GaAs heterojunction bipolar transistors / M.Feng, N. Holonyak // Appl. Phys. Lett. – 2004. – Vol. 84. – №1.– pp.151.
- Ліщинська Л.Б. Визначення, класифікація і параметри багатопараметричних узагальнених перетворювачів імітансу / Л.Б.Ліщинська // Вісник Вінницького політехнічного інституту. – 2010. – № 5. – С. 105–108.
- Masataka W., Daiji F., Hiroshi Y., Shigeru N. 0.10 um Ion-Implanted GaAs MESFETs with Low Cost Production Process // IEICE Tech. Rep., vol. 107, no. 95, ED2007-31, pp. 1-5, June 2007.
- Філинюк М. А. Активні УВЧ і НВЧ фільтри : монографія / М. А. Філинюк, Л. Б. Ліщинська. – Вінниця : ВНТУ, 2010. – 396 с. – ISBN 978-966-641-376-8.

Надійшла до редакції 02.09.2011г.

**ЛИЩИНСКАЯ Л. Б. – к.т.н., доцент, Винницкий торгово–экономический институт  
Киевского национального торгово–экономического университета, г. Винница, Украина.**